

## КИНЕМАТИЧЕСКАЯ МОДЕЛЬ ВНУТРЕННИХ И ВНЕШНИХ ЗОЛОТЫХ СЕЧЕНИЙ И СООТВЕТСТВУЮЩИХ ИМ ВУРФОВ – ОТНОШЕНИЙ ГАРМОНИЧЕСКИХ ОТНОШЕНИЙ

В течение пяти веков со времён Леонардо да Винчи и Луки Пачоли, назвавших деление отрезка в среднем и крайнем отношении Божественной пропорцией, существовала единственная, причём статичная, геометрическая интерпретация этой пропорции или золотого сечения, как деления отрезка длиной  $a + b$  на 2 части  $a, b$ , связанные соотношением:  $(a + b) / b = b / a$  при  $b > a$  или  $(a + b) / a = a / b$  при  $b < a$ . При  $a + b = 1$  больший из отрезков равняется  $\phi = (-1 + \sqrt{5}) / 2 \approx 0,618033989$ , а меньший  $1 - \phi = (3 - \sqrt{5}) / 2 = \phi^2$ .

Поскольку соотношения, равные константам золотого сечения  $\phi$  или  $\Phi = 1 / \phi = 1 + \phi = (1 + \sqrt{5}) / 2 \approx 1,618034\dots$  постоянно находились в неживой и живой природе, установилось мнение, что константы  $\phi, \Phi$  являются некими эстетическими критериями гармонии и красоты, но их физический, биологический и т. л. смысл оставался неясным.

Фактически впервые в [1-3] автором данной статьи было показано, что за феноменологическими константами золотого сечения  $\phi, \Phi$  скрываются экстремумы некоторых функций (в частности, потенциалов и различных функций средних значений). Так, было установлено, что для гравитационных полей однородных сферических объектов (планет) ускорения свободного падения  $g$  оказываются равными в симметричных точках, отстоящих по радиусу от поверхности планеты (внутри планеты и вне её) на расстояниях  $d_1 = d_2 = R \cdot \phi$  (где  $R$  – радиус планеты). При этом сумма потенциалов (и, следовательно, их среднее арифметическое) для симметричных относительно поверхности планеты точек имеет минимум именно при этих расстояниях.

Отметим также, что в [4-8] автором статьи были введены электростатические и гравитационные модели как золотых сечений, так и произведений, которыми являются эквипотенциальные линии, соответственно, окружности и овалы Кассини от тонких длинных стержней, заряженных одинаковыми или противоположными по знаку зарядами. Эквипотенциальные же и силовые линии эллипсы и гиперболы одного тонкого заряженного стержня определяют инвариантные суммы и разности.

В данной статье являющейся развитием работ [2,3], вводится обобщённая геометрически-кинематическая модель как внутренних, так и внешних золотых сечений и связанных с ними вурфов. При этом золотое сечение обобщается от указанного выше частного случая деления отрезка прямой линии до отношения переменных отрезков ломаной линии, одни концы которых закреплены, а другие движутся по определённой ниже окружности. Полученные результаты были использованы затем для анализа различных как линейных, так и угловых вурфов пирамиды Хеопса. В результате установлено, что великая пирамида может считаться идеальным геометрическим объектом

Итак, определим вначале окружность золотого сечения (см. рис 1). Пусть

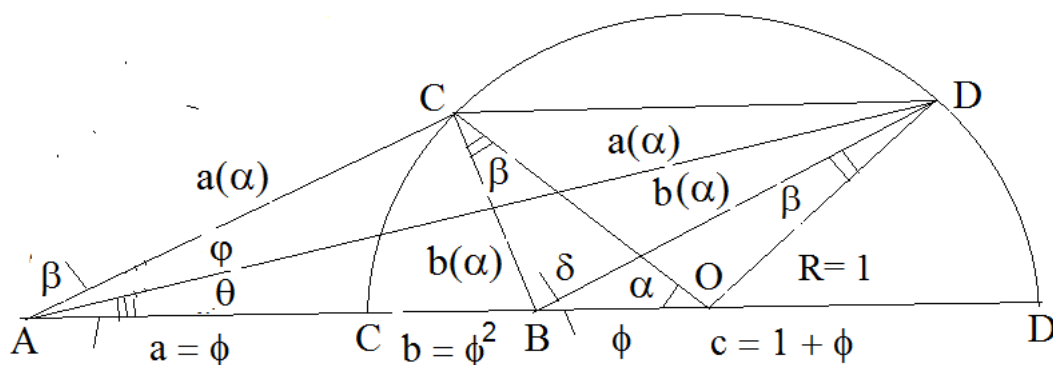


Рис. 1

на плоскости с началом координат в точке А даны две точки:  $A(0,0)$  и  $B(x_B,0)$ . Тогда геометрическим местом точек  $C(x,y)$  или при  $\angle COA > \pi/2$   $D(x,y)$ , отношение расстояний от которых до точек А, В постоянная величина  $k = AC / BC = AD / DB = \text{const}$ , есть окружность с центром в точке  $O(x_B \cdot k^2 / (k^2 - 1), 0)$  и радиусом  $OM = R = x_B \cdot k / (k^2 - 1)$ .

Действительно, поскольку  $AC^2 = x^2 + y^2$ ,  $BC^2 = (x_B - x)^2 + y^2$  и так как мы полагаем, что  $AC^2 = k^2 \cdot BC^2$ , то:

$$x^2 + y^2 - 2 \cdot [x_B k^2 / (k^2 - 1)] \cdot x = x_B^2 \cdot k^2 / (1 - k^2) \quad (1)$$

Выделяя далее в правой части (1) полный квадрат, получим:

$$[x - x_B \cdot k^2 / (k^2 - 1)]^2 + y^2 = [x_B \cdot k / (k^2 - 1)]^2 \quad (2)$$

Соотношение же (2) есть уравнение окружности с радиусом  $R = x_B \cdot k / (k^2 - 1)$  и центром в точке  $O(x_B \cdot k^2 / (k^2 - 1), 0)$ .  $AC = BC$  при  $k = 1$ , при этом  $R = \infty$  и вблизи точек  $A, B$  окружность соответствует прямой линии, проходящей через середину отрезка  $AB$  перпендикулярно ему. Центр же окружности находится на прямой  $AB$  на бесконечном расстоянии от середины отрезка  $AB$ . При уменьшении  $k$  и прохождении значения  $k = 1$  центр окружности скачкообразно перемещается справа из  $+\infty$  влево в  $-\infty$ !

Укажем вначале исходные расстояния между точками  $A, C, B, O, D$ , когда эти точки лежат на одной прямой и угол  $\angle AOC = \alpha = 0$ . Полагая при этом  $x_B = BA = 1$  и  $k = \Phi$ , с учётом соотношений  $\Phi^2 = 1 + \Phi$ ,  $\phi^2 = 1 - \phi$  получим:  $R = 1$ ,  $AO = 1 + \phi = \Phi$ ,  $BO = \phi$ ,  $AC = \phi$ ,  $BC = \phi^2$ ,  $AD = 2 + \phi = 1 + \Phi$ . Отсюда следует, что в исходном положении ( $\alpha = 0$ ) внутреннее деление отрезка  $AB$  по золотому сечению  $AC / BC = \Phi$  равно внешнему делению  $AD / BD = (2 + \phi) / (1 + \phi) = \Phi$ .

Следуя рис. 1, выразим длины рассматриваемых отрезков при движении точек  $C, D$  по окружности через угол  $\alpha$ , учитывая то, что при увеличении  $\alpha$  точка  $C$ , осуществляющая внутреннее деление переходит при  $\alpha = \pi / 2$  в точку  $D$ , осуществляющую внешнее деление

$$AC(\alpha) = a(\alpha) = \sqrt{AO^2 + OC^2 - 2AO \cdot OC \cdot \cos \alpha} = \sqrt{3 + \phi - 2\cos \alpha} \quad (3),$$

$$BC(\alpha) = b(\alpha) = \sqrt{BO^2 + OC^2 - 2BO \cdot OC \cdot \cos \alpha} = \sqrt{2 - \phi - 2\phi \cos \alpha} \quad (4),$$

$$AD(\alpha) = a(\alpha), \quad BD(\alpha) = b(\alpha), \quad \alpha \geq \pi/2 \quad (5)$$

Графики зависимостей  $a(\alpha)$ ,  $b(\alpha)$  (кривые 1,2) и  $a(\alpha)/b(\alpha) = \text{const} = \Phi$  (прямая 3) показаны на рис. 2. Укажем, что  $a(0) = \phi$ ,  $b(0) = \phi^2$ ,  $a(\pi/5) = 1$ ,  $b(\pi/5) = \phi$ ,  $\pi/5 = \pi / (\phi + \Phi)^2 = \arccos \Phi / 2$ ,  $a(2\pi/5) = \Phi$ ,  $b(2\pi/5) = \phi$ ,  $a(\pi) = 1 + \Phi$ ,  $b(\pi) = 1$ ,  $2\pi/5 = (\phi\Phi + \Phi\phi)\pi / (\phi + \Phi)^2 = \arccos(1/2\Phi)$ ,  $a(2\pi/3) = \sqrt{2(1+\Phi)}$ ,  $b(2\pi/3) = \sqrt{2}$ ,  $a(\pi/2) = \sqrt{3+\phi}$ ,  $b(\pi/2) = \sqrt{1+\phi^2}$ ,  $a(\pi) = a_{\max} = \Phi + 1$ ,  $b(\pi) = b_{\max} = \Phi$ .

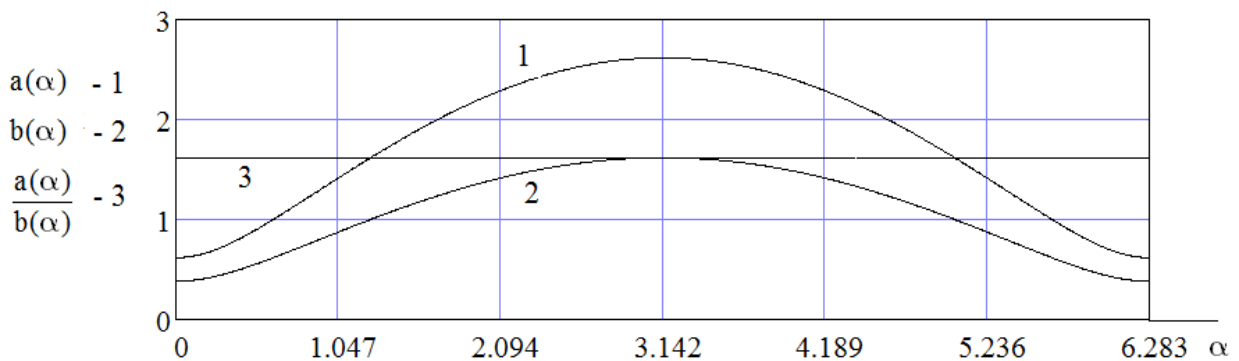


Рис. 2

Важно то, что в построенной кинематической модели золотых сечений исходные соотношения между отрезками при  $\alpha = 0$  сохраняются при всех  $\alpha$  как для внутренних, так и для внешних сечений:

$$a(\alpha) / b(\alpha) = [a(\alpha) + b(\alpha)] / a(\alpha) = \text{const} = \Phi \quad (6)$$

Используем теперь полученные в предложенной обобщённой модели золотых сечений результаты для нахождения и анализа соответствующих им линейных и угловых вурфов, дающих числовые значения из определяемых ниже комбинаций трёх базовых параметров, соответственно, отрезков или углов, характеризующих данный объект.

Прежде чем дать точное определение вурфа - одного из основных понятий проективной геометрии [9,10], укажем, что четвёрка точек на прямой А, С, В, D называется гармонической, если точки С, D делят отрезок А, В в отношениях,

равных по модулю и отличающихся только знаком:  $\overrightarrow{AC} / \overrightarrow{CB} = -\overrightarrow{AD} / \overrightarrow{DB}$ . При этом точки  $A, B$  называются базовыми, а точки  $C, D$  делящими.

Первый пример получения гармонических точек показан на рис. 3. Если в  $\triangle AMB$  провести биссектрисы внутреннего и внешнего углов при вершине  $M$ , то точки  $C, D$  разделят отрезок  $AB$  в гармоническом отношении так как, если  $MC$  и  $MD$  биссектрисы, то  $AC / CB = AM / BM$ ,  $AD / DB = -AM / MB$ . При этом отрезки  $AB, CB, AD$  считаются сонаправленными (имеют положительное направление), а отрезок  $DB$  имеет противоположное (отрицательное) направление.

Второй пример построения гармонических точек показан на рис. 4. В этом случае через данные точки  $A, B$  проводятся параллельные прямые  $AM, BN$ . Через точки  $M, N$  проводится прямая, пересекающая прямую  $AB$  в точке  $D$ . При заданной точке  $D$  соответствующую четвёртую точку  $C$  находят следующим образом: на прямой  $NB$  откладывают отрезок  $BK$ , равный по длине отрезку  $BN$ . Затем, соединяя точки  $K, M$ , находят искомую точку  $C$ , как пересечение прямых  $KM$  и  $AB$ .

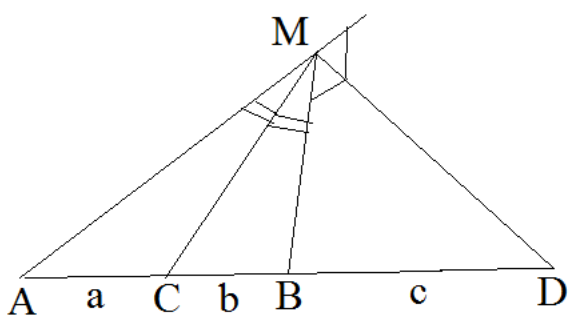


Рис. 3

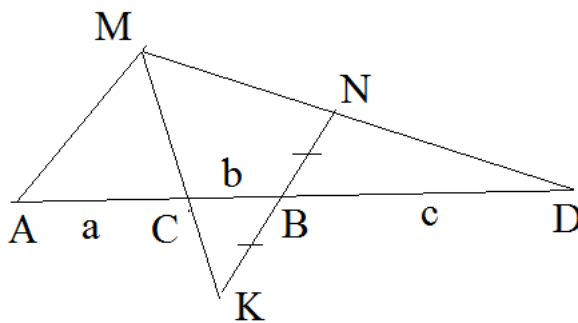


Рис. 4

Для 4-х последовательных точек  $A, C, B, D$  или 3-х отрезков  $a, b, c$  понятие вурф  $W_{abc}$ , введённое немецким математиком Карлом Штаудтом, определяется двумя эквивалентными формулами:

$$W_{abc} = (a + b)(b + c) / b(a + b + c) = 1 + ac / b(a + b + c) \quad (7)$$

Однако по мнению автора статьи сам термин вурф (от нем. wurf – бросок)

является слишком абстрактным, более логичным, по крайней мере в рассматриваемых задачах, было бы использование термина - *отношение гармонических отношений* в соответствии со следующей записью

$$W_{abc} = (a + b) / b : (a + b + c) / (b + c) \quad (8)$$

В общем случае 3 отрезка можно переставить  $3! = 6$  способами, но, так как  $W_{abc}$  не изменяется при перестановке крайних величин ( $W_{abc} = W_{cba}$ ) и поэтому при  $a \neq b \neq c$  существует лишь 3 различных функции  $W_{abc}, W_{cab}, W_{acb}$ .

На рис. 5 показаны зависимости  $W_{abc}(\alpha), W_{cab}(\alpha), W_{acb}(\alpha)$  - кривые 1-3 соответственно, для отрезков  $a(\alpha), b(\alpha)$  и  $c = \text{const} = BD = 1 + \phi$  для описанной выше кинематической модели золотых сечений.

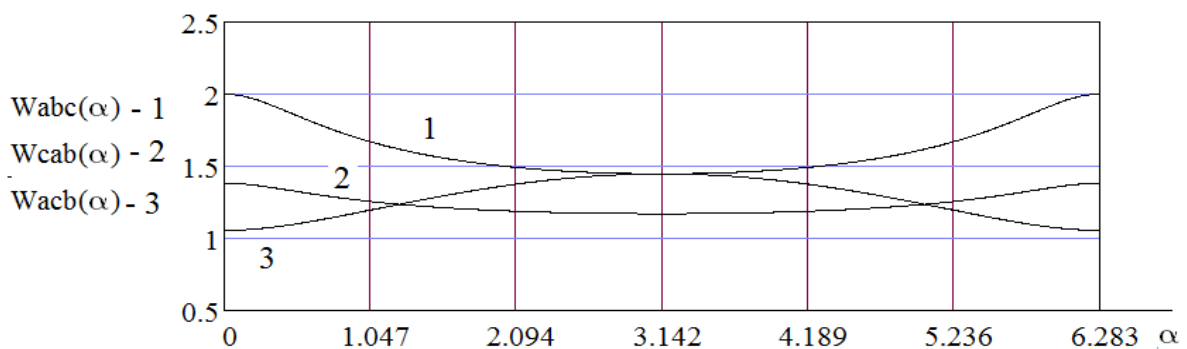


Рис. 5

Для сравнительного анализа приведём характерные значения этих вурфов.

$$W_{abc}(0) = W_{abc\max} = 2, \quad W_{abc}(\pi/5) = \Phi^2 / 2 + 1/2 \approx 1,809\,016\,994,$$

$$W_{abc}(2\pi/5) = \Phi, \quad W_{abc}(\pi) = W_{abc\min} = 1 + 1/\sqrt{5} \approx 1,447\,213\,395,$$

$$W_{cab}(0) = W_{cab\max} = 1 + \phi^2, \quad W_{cab}(\pi/5) = \Phi^2 / 2 \approx 1,309\,016\,994,$$

$$W_{cab}(2\pi/5) = 2\phi, \quad W_{cab}(\pi) = W_{cab\min} = (8\Phi + 5) / (7\Phi + 4) \approx 1,170\,820\,393,$$

$$W_{acb}(0) = W_{acb\min} = (4\phi + 2) / (2\phi + 3) \approx 1,055\,728\,090, \quad W_{acb}(\pi/5) = \phi + 1/2,$$

$$W_{acb}(2\pi/5) = W_{cab}(2\pi/5) = 2\phi, \quad W_{acb}(\pi/1,897\,887\,911) \approx \Phi^2 / 2 = W_{cab}(\pi/5),$$

$$W_{acb}(\pi) = W_{acb \max} = 1 + 1/\sqrt{5} = W_{abc}(\pi).$$

Отметим, что значения вурфа  $W_{abc} \approx \Phi^2 / 2 = 1 + \phi / 2 = 1,309\ 016\ 994$  согласно эмпирическим наблюдениям параметров различных объектов в архитектуре и даже живой природе считаются оптимальными для многих объектов [11, 12].

Математическим пояснением этого утверждения могут служить следующие соображения. Как известно, фундаментальная последовательность Фибоначчи, открытая, кстати, ещё в 12 веке при наблюдении за ростом популяции кроликов, характеризуется соотношениями:

$$F_{n+2} = F_{n+1} + F_n, \quad \{F_n\} = 1, 1, 2, 3, 5, 8, 13, 21, \dots \quad (10),$$

$$\lim_{n \rightarrow \infty} F_n / F_{n+1} = \phi, \quad \lim_{n \rightarrow \infty} F_{n+1} / F_n = \Phi \quad (11)$$

После преобразования следующего гармонического выражения получим:

$$\begin{aligned} \lim_{n \rightarrow \infty} W_n &= (F_n + F_{n+1})(F_{n+1} + F_{n+2}) / F_{n+1}(F_n + F_{n+1} + F_{n+2}) = \\ &= \lim_{n \rightarrow \infty} F_{n+2} / F_{n+1} \cdot \lim_{n \rightarrow \infty} F_{n+3} / 2F_{n+2} = \Phi \cdot \Phi / 2 = \Phi^2 / 2 = (\Phi + 1) / 2 \approx 1,309 \quad (12) \end{aligned}$$

Проведённые выше расчёты показали, что при  $a = a(\alpha)$ ,  $b = b(\alpha)$ ,  $c = BD = 1 + \phi = \Phi$  оптимальное значение вурфа, равное  $\Phi^2 / 2$ , реализуется для  $W_{cab}(\pi / 5)$ , причём при этом имеют место следующие соотношения между отрезками  $a, b, c$ :

$$c = \Phi > a(\pi / 5) = 1 > b(\pi / 5) = \phi, \quad c = \Phi = a(\pi / 5) + b(\pi / 5) \quad (13)$$

Из (13) следует, что при  $\alpha = \pi / 5$  из отрезков  $a, b, c$  при  $c = a + b$  нельзя составить треугольник – он вырождается в прямолинейный отрезок.

Найденное условие получения оптимального значения вурфа, соответствующее соотношению между числами Фибоначчи  $F_{n+2} = F_{n+1} + F_n$ , было подтверждено расчётами и для ряда других значений  $a, b, c$ . Напр., полагая  $a = a(\alpha)$ ,  $b = b(\alpha)$ ,  $c = AB = 1$  получим, что значение  $\Phi^2$  имеют

следующие вурфы:

$$W_{abc}(\pi) = \Phi^2 / 2, \quad a(\pi) = \Phi + 1 > b(\pi) = \Phi > c = 1, \quad a = b + c \quad (14),$$

$$W_{cab}(0) = \Phi^2 / 2, \quad c = 1 > a(0) = \Phi > b(0) = \Phi^2, \quad c = a + b \quad (15)$$

В то же время для случая  $a = a(\alpha), \quad b = b(\alpha), \quad c = BD = 1 + \phi = \Phi$  установлено, что при  $\alpha_0 \approx 1,655\,309 \approx 49\pi / 93 \approx 94,842^\circ$

$$W_{acb}(\alpha_0) = \Phi^2 / 2, \quad a(\alpha_0) \approx 1,972\,612, \quad b(\alpha_0) \approx 1,219\,141, \quad a \neq b + c \quad (16)$$

Из (16) следует, что условие  $a = b + c$  для получения величины вурфа, равной  $\Phi^2 / 2$ , не является обязательным.

Отметим, что значение вурфа  $\Phi^2 / 2$  не реализуется ни для равностороннего треугольника (при  $a = b = c \quad W_{abc} = 4/3 = 1,333\dots$ ), ни для отрезков, дающих внутреннее и внешнее золотые сечения, при  $a = \phi, \quad b = \phi^2, \quad c = 1 + \phi \quad W_{abc} = 1 + \phi^2 \approx 1,382, \quad W_{acb} = 2, \quad W_{bac} = 2(1 + 2\phi) / (3 + 2\phi \approx 1,056)$

Проведём далее исследования гармонических соотношений для основных углов кинематической модели. Укажем вначале, что при  $\alpha \leq \pi / 2 \quad \angle CAB = \angle BCO = \beta(\alpha)$ , при  $\alpha \geq \pi / 2 \quad \angle DAB = \theta(\alpha) = \beta(\alpha) = \angle BDO$ . При этом:

$$\angle C(D)AB = \beta(\alpha) = |\arcsin[(\sin\alpha) / a(\alpha)]|, \quad (17),$$

$$\angle C(D)BO = \delta(\alpha) = |\arcsin[(\sin\alpha) / b(\alpha)]| \quad (18)$$

Графики  $\beta(\alpha)$  и  $\delta(\alpha)$  и их отношения  $\beta(\alpha) / \delta(\alpha)$  показаны на рис. 6.

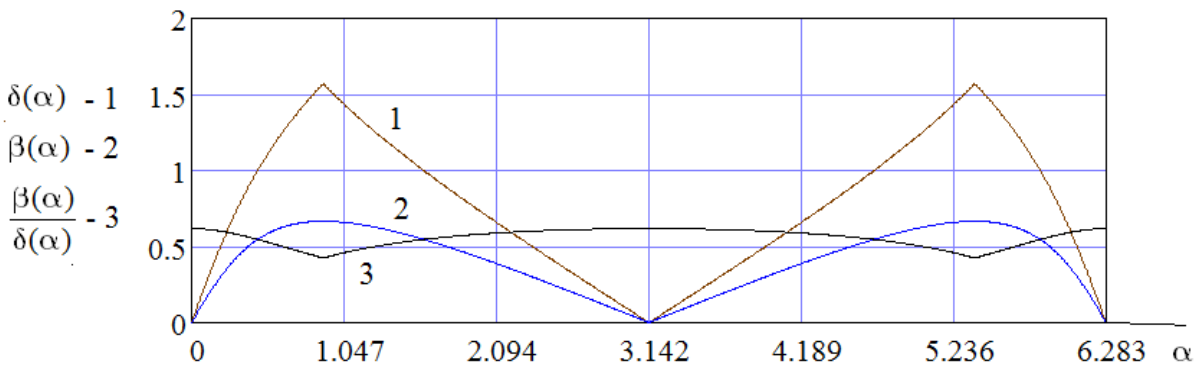


Рис. 6

Интересно, что хотя  $\lim_{\alpha \rightarrow 0, \pi} \beta(\alpha) = 0, \quad \lim_{\alpha \rightarrow 0, \pi} \delta(\alpha) = 0$ , предел их отношения



$$\lim_{\alpha \rightarrow 0, \pi} \beta(\alpha) / \delta(\alpha) = \phi!$$

Кроме того, как следует из рис. 6, кривые  $\delta(\alpha)$  и  $\beta(\alpha) / \delta(\alpha)$  имеют излом при  $\alpha = \arccos \phi \approx 51,827\,924^\circ$ , поскольку при этом  $\alpha \quad OC \perp AC$ ,  $\angle \varphi = 0$  и угол  $\beta$  становится максимальным  $\beta(\arccos \phi) = \beta_{\max} \approx 38,172\,707^\circ$  и равным углу  $\theta$ . Угол  $\delta$  также принимает максимальное значение  $\delta_{\max} = \pi / 2$ .

Для углов  $\beta(\alpha)$ ,  $\delta(\alpha)$  и  $\gamma(\alpha) = \beta(\alpha) + \delta(\alpha)$  были рассмотрены 3 следующих вурфа  $W_{\gamma\beta\delta}(\alpha)$ ,  $W_{\gamma\delta\beta}(\alpha)$  и  $W_{\beta\gamma\delta}(\alpha)$ , графики которых показаны на рис. 7.

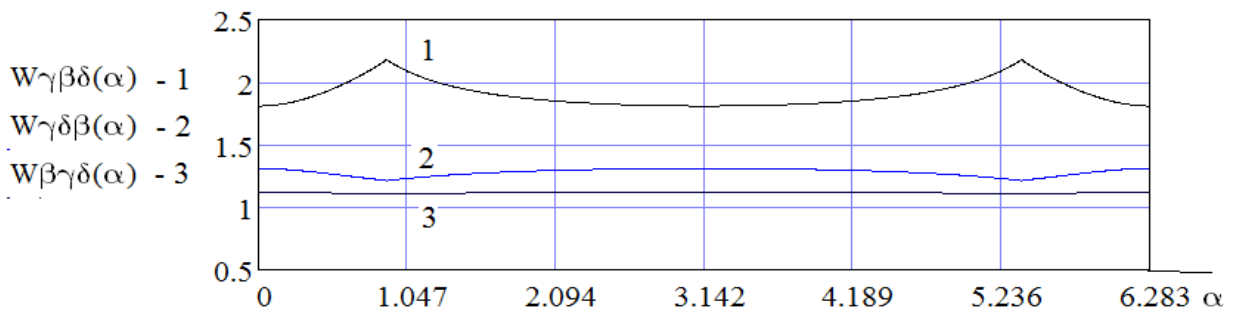


Рис. 7

Для сравнительного анализа укажем характерные значения этих вурфов:

$$W_{\gamma\beta\delta}(0) = W_{\gamma\beta\delta}(\pi) = W_{\gamma\beta\delta \min} = \Phi^2 / 2 + 1 / 2 \approx 1,809\,016\,994,$$

$$W_{\gamma\beta\delta}(\arccos \phi) = W_{\gamma\beta\delta \max} \approx 2,178\,852\,714,$$

$$W_{\gamma\delta\beta}(0) = W_{\gamma\delta\beta}(\pi) = W_{\gamma\delta\beta \max} = \Phi^2 / 2 \approx 1,309\,016\,994,$$

$$W_{\gamma\delta\beta}(\arccos \phi) = W_{\gamma\delta\beta \min} \approx 1,212\,070\,598,$$

$$W_{\beta\gamma\delta}(0) = W_{\beta\gamma\delta}(\pi) = W_{\beta\gamma\delta \max} = \Phi + 1 / 2 \approx 1,118\,033\,989,$$

$$W_{\beta\gamma\delta}(\arccos \phi) = W_{\beta\gamma\delta \min} \approx 1,104\,562\,116.$$

Таким образом, даже при  $\gamma(\alpha) = \beta(\alpha) + \delta(\alpha)$  и «правильном» порядке индексов  $\gamma(\alpha) > \delta(\alpha) > \beta(\alpha)$  для вурфа  $W_{\gamma\delta\beta}(\alpha)$  удалось получить «оптимальное» значения вурфа  $\Phi^2 / 2 \approx 1,309$  лишь при  $\alpha = 0, \pi$ .

В то же время при «неправильных» порядках индексов  $\gamma(\alpha) > \beta(\alpha) < \delta(\alpha)$

для вурфа  $W_{\gamma\beta\delta}(\alpha)$  и  $\beta(\alpha) < \gamma(\alpha) > \delta(\alpha)$  для вурфа  $W_{\beta\gamma\delta}(\alpha)$  «оптимальное» значение  $\Phi^2 / 2$  вообще не реализуется ни при каких  $\alpha$ . Хотя следует отметить и возможность получения нового интересного результата: значение вурфа  $W_{\beta\gamma\delta}(\alpha)$  оказалось почти равным константе  $\phi + 1/2 \approx 1,118$ , относительно близкой к оптимальному значению при всех  $\alpha$ .

В заключение проведём расчёт ряда вурфов для одного из самых знаменитых артефактов – пирамиды Хеопса, для которой в [13] автором статьи был получен ряд важных и интересных соотношений, свидетельствующих о высокой геометрической гармонии данного сооружения.

Основанием пирамиды Хеопса (см. рис. 8) является квадрат со стороной  $AB \approx 230,3$  м, высотой  $SO \approx 146,6$  м и рёбрами  $SA = SB = SC = SD \approx 225$  м. В единице длины  $\ell = 115,15$  м  $AB = 2$ ,  $OM = ON = 1$ ,  $SO \approx \sqrt{\Phi}$ ,  $SA \approx \sqrt{\Phi^2 + 1}$ ,  $SM \approx \Phi$ ,  $\angle SMO \approx \arctg\sqrt{\Phi} \approx 51,827\,923^\circ$ ,  $\angle SAO \approx \arctg\sqrt{\Phi/2} \approx 41,969\,915^\circ$ .

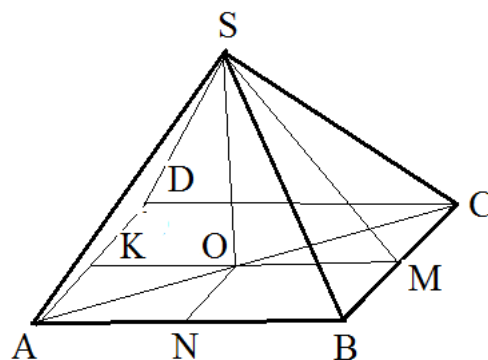


Рис. 8

Полагая, что пирамида Хеопса определяется диагональным треугольником ASC, найдём следующий вурф для трёх отрезков a, b, c:

$$a = AC = 2\sqrt{2}, \quad b = AS = \sqrt{\Phi^2 + 1}, \quad c = SO = \sqrt{\Phi}. \quad W_{abc} \approx 1,315113 \quad (19)$$

Из (19) следует, что полученное значение вурфа близко к оптимальному значению:  $W_{abc} \approx \Phi^2 / 2 \approx 1,309\,017$ .

В то же время полагая, что пирамида определяется треугольником ASO - половиной диагонального треугольника ASC, получим:

$$a = AS = \sqrt{\Phi^2 + 1}, \quad b = AO = \sqrt{2}, \quad c = SO = \sqrt{\Phi}, \quad W_{abc} \approx 1,372871 \quad (20)$$

Новое значение вурфа (20) оказалось не только не равным предыдущему, но и сильнее отличающимся от оптимального.

Аналогичные результаты были получены для треугольников SMK и SMO, лежащих в сечении пирамиды параллельном стороне основания:

$$a = MK = 2, \quad b = SM = \Phi, \quad c = SO = \sqrt{\Phi}, \quad W_{abc} \approx 1,321631 \quad (21),$$

$$a = SM = \Phi, \quad b = SO = \sqrt{\Phi}, \quad c = MO = 1, \quad W_{abc} \approx 1,388757 \quad (22)$$

Наконец, укажем значения вурфов для углов в треугольниках SMO и SAO:

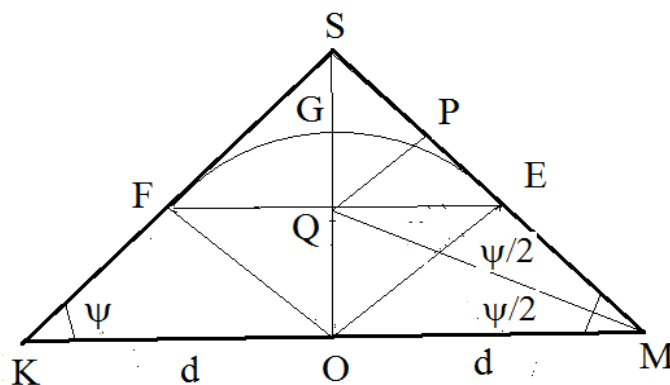
$$\angle SOB = \gamma = 90^\circ, \quad \angle SMO = \delta \approx 51,828^\circ, \quad \angle OSM = \beta \approx 38,172^\circ, \quad W_{\gamma\delta\beta} \approx 1,368, \quad (23),$$

$$\angle SOA = \gamma = 90^\circ, \quad \angle OSA = \delta \approx 48,031^\circ, \quad \angle SAO = \beta \approx 41,970^\circ, \quad W_{\gamma\delta\beta} \approx 1,436 \quad (24)$$

Полученные результаты, казалось бы, позволяют сделать вывод о том, что пирамида Хеопса не является идеальным геометрическим объектом. Однако это не так, поскольку в ходе дальнейшего детального анализа геометрии пирамиды были выявлены новые важные соотношения, прежде всего, для радиусов различных сфер вписанных в пирамиду.

Так, радиус сферы  $r_s = QO = QP$  ( $s$  – sphere), вписанной в пирамиду (см. рис.8) с  $SO = h$  и  $KO = OM = d$  и  $\angle SMO = \angle SKO = \psi$  при учёте того, что  $\text{tg}\psi = 2\text{tg}(\psi/2) / [1 - \text{tg}^2(\psi/2)]$ , определяется соотношением:

$$r_s = d \cdot \text{tg}(\psi/2) = d \cdot [\sqrt{h^2 + d^2} - d] / h \quad (25)$$



$$\begin{aligned} SO &= h \\ QO &= QP = r_s \\ OE &= OF = OG = r_{ss} \end{aligned}$$

Рис. 8

Зависимость же радиуса полусферы  $r_{SS}$  (ss - semisphere), вписанной в пирамиду (см. рис. 8) так, что плоскость, проходящая через центр полусферы совпадает с плоскостью, в которой лежит основание пирамиды имеет вид:

$$r_{SS} = d \cdot \sin \psi = d \cdot h / \sqrt{h^2 + d^2} \quad (26)$$

Радиусы  $r_S(h)$  и  $r_{SS}(h)$  монотонно растут с ростом  $h$ , однако, трудно предсказуемым явилось, во-первых, обнаружение того, что разность радиусов  $\Delta r(h) = r_{SS}(h) - r_S(h)$  (см. рис. 9) имеет экстремум – максимум и именно при  $h = \sqrt{\Phi} !!$ .

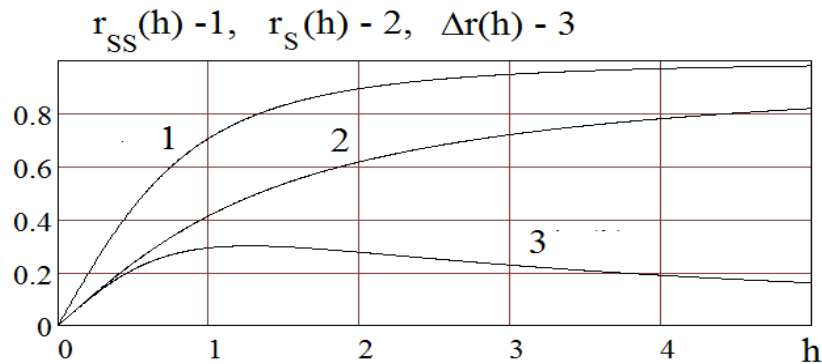


Рис. 9

Во-вторых, заранее было трудно предположить, что при  $h = \sqrt{\Phi}$  выполняются следующие замечательные соотношения:

$$r_{SS}(\sqrt{\Phi}) = \Phi^{1/2}, \quad r_S(\sqrt{\Phi}) = \Phi^{3/2}, \quad r_{SS}(\sqrt{\Phi}) + r_S(\sqrt{\Phi}) = \Phi^{1/2} + \Phi^{3/2} = \sqrt{\Phi} = h \quad (27)$$

Подчеркнём, что наличие найденного экстремума характерно лишь для пирамиды данных размеров, а также для подобных ей пирамид.

Полагая  $a = h = \sqrt{\Phi}$ ,  $b = r_{SS} = \Phi^{1/2}$ ,  $c = r_S = \Phi^{3/2}$ , получаем весьма важный результат - пирамида Хеопса имеет оптимальные значения вурфов (!):

$$W_{abc} = \Phi^2 / 2, \quad W_{acb} = \Phi^2 / 2 + 1/2, \quad W_{bac} = \Phi + 1/2 \quad (28)$$

Полученные соотношения (28) позволяют назвать Великую пирамиду идеальным геометрическим объектом !!

Таким образом, для всестороннего анализа геометрических свойств объектов требуется вычисление различных вурфов, как линейных, так и

угловых, чтобы найти наиболее значимые параметры, максимально определяющие специфику данного объекта.

Можно также предположить, что объекты с оптимальными геометрическими характеристиками могут иметь и лучшие физические или иные свойства, напр., минимальное сопротивление в процессе движения в воздушной или жидкой среде.

### ***ЛИТЕРАТУРА***

1. *А.Н.Шелаев*. Соотношения гармонии для внутренних и внешних гравитационных полей однородных тел и экстремумы функций средних значений для потенциалов и ускорений. Актуальные проблемы современной науки, 2011, № 2, С.115-118.

2. *А.Н. Шелаев*. Соотношения гармонии в обобщённой геометрической модели золотых сечений и функций средних значений. Актуальные проблемы современной науки , 2011, № 2, С.118-120.

3. *А.Н Шелаев*. Обобщённая геометрическая модель золотых сечений и соответствующие ей экстремумы длин площадей и их производных. Академия тринитаризма, [www.trinitas.ru](http://www.trinitas.ru), М., Эл. № 77—6567, публ. 17431, 29.04.2012. = 8 С

4. *А.Н. Шелаев*. Электростатическая модель золотых сечений и функций средних значений. Академия тринитаризма, [www.trinitas.ru](http://www.trinitas.ru), М., Эл, № 77-6567, публ. 17511, 08.06.2012. – 9 С.

7. *А.Н.Шелаев*. Электростатические и гравитационные можели инвариантных произведений. Академия тринитаризма, [www.trinitas.ru](http://www.trinitas.ru), М. Эл., № 77-6567, публ. 17609, 06, 06.08.2012. =12 С.

8. *А.Н.Шелаев*. Электростатические модели инвариантных сумм и разностей – софокусные эллипсы и гиперболы как эквипотенциальные линии тонких равномерно-заряженных стержней. Академия тринитаризма, [www.trinitas.ru](http://www.trinitas.ru), М., Эл., № 77-6567, публ, 18066, 13.06.2013. = 7 С.

9. *Р.Н. Щербаков, Л.Ф.Пичурин*. От проективной геометрии к неевклидовой. М., Просвещение, 1979. – 158 С.

10. *Мацуо Комацу*. Многообразие геометрии. Пер. с японск. М, Мир, 1981.  
- 208 С.
11. *С.В.Петухов*. Геометрия живой природы и алгоритмы свмоорганизации.  
М., Знание, 1988. - 48 С.
12. *С.В.Петухов*. Матричная генетика, алгоритмы генетического кода,  
помехоустойчивость. М.- Ижевск, Регулярная и хаотическая динамика, 2008.  
- 316 С.
13. *А.Н.Шелаев*. К раскрытию геометрических тайн великих пирамид.  
Академия тринитаризма, [www.trinitas.ru](http://www.trinitas.ru), М., Эл., № 77-6567, публ, 17965,  
31.03.2013. - 8 С.